

بررسی تغییرات بیان ژن سوروایوین پس از آسیب دیدگی عصب سیاتیک در موش بالغ

سارا امیری^۱، منصوره موحدین^۲، سید جواد مولی^{۳*}، زهرا حاج ابراهیمی^۴

۱- کارشناسی ارشد ژنتیک، گروه ژنتیک، دانشکده علوم پایه، دانشگاه تربیت مدرس، تهران، ایران

۲- دانشیار، گروه علوم تشریح، دانشکده علوم پزشکی، دانشگاه تربیت مدرس، تهران، ایران

۳- دانشیار، گروه ژنتیک، دانشکده علوم پایه، دانشگاه تربیت مدرس، تهران، ایران

۴- کارشناسی ارشد ژنتیک، گروه ژنتیک، دانشکده علوم پایه، دانشگاه تربیت مدرس، تهران، ایران

دریافت مقاله: ۸۶/۸/۲۳
پذیرش مقاله: ۸۶/۱۱/۲۹

چکیده

هدف: به دلیل ضرورت درمان آسیب‌های سیستم عصبی و همچنین نقش ژن سوروایوین در تکثیر سلولی و مرگ برنامه‌ریزی شده سلول، تغییرات بیان این ژن در طول دوره ترمیم در اعصاب سیاتیک آسیب دیده و همچنین قطعات نخاعی مرتبط با عصب سیاتیک بررسی شد.

مواد و روش‌ها: موش‌های نر بالغ نژاد «ان ماری» به عنوان مدل مورد استفاده قرار گرفتند که پس از بیهوش کردن آنها، عصب سیاتیک پای راست موش‌ها برپا عرضی داده شد و سپس در زمان‌های مشخص (۳، ۶، ۲۴، ۴۸، ۹۶ و ۱۴۴ ساعت) پس از آسیب، موش‌ها کشته شده و قطعات انتهایی و ابتدایی عصب قطع شده، عصب دست نخورده پای چپ و قطعات L4-L6 نخاعی که مربوط به عصب سیاتیک هستند، نمونه‌گیری شدند. RNA کل هر نمونه استخراج و سپس واکنش RT-PCR نیمه کمی با آغازگرهای اختصاصی برای ژن سوروایوین و ژن β m₂ به عنوان کترول داخلی، گذاشته شد. برای تعیین توزیع سلولی پروتئین سوروایوین، ۶ روز (۱۴۴ ساعت) پس از قطع عصب، بیان این پروتئین با استفاده از آنتی‌بادی اختصاصی با روش ایمونوهیستوشیمی ارزیابی شد.

نتایج: نتایج این تحقیق نشانگر بیان دو واریانت سوروایوین ۱۴۰ و سوروایوین ۴۰ در قطعه انتهایی و ابتدایی عصب آسیب دیده با شدت‌های مختلف بود به گونه‌ای که میزان بیان سوروایوین ۱۴۰ بیشتر از بیان سوروایوین ۴۰ بود و در قطعات نخاعی، تنها بیان واریانت سوروایوین ۱۴۰ شناسایی شد. همچنین در بررسی ایمونوهیستوشیمی قطعات نخاعی، هم توزیع هسته‌ای و هم توزیع سیتوپلاسمی پروتئین سوروایوین مشاهده شد در حالی که بیان این پروتئین در هیچ‌کدام از قطعات انتهایی یا ابتدایی عصب سیاتیک تشخیص داده نشد.

نتیجه گیری: نتایج بیانگر آن است که ژن سوروایوین به طور متمایزی در طول دوره ترمیم در عصب و نخاع آسیب دیده بیان و پردازش می‌شود. همچنین نتایج نشان دادند که دستکاری در بیان یا پردازش رونوشت اولیه سوروایوین می‌تواند تأثیر بالقوه‌ای در فرآیند ترمیم در آسیب‌های اعصاب یا نخاع داشته باشد.

کلیدواژگان: سوروایوین، عصب سیاتیک، مهارکننده مرگ برنامه‌ریزی شده سلول، نخاع، ایمونوهیستوشیمی.

۱- مقدمه

مشخص می‌شوند که یکی دارا بودن دامین (Domain) تاخورده (Domain) متصل به روی (Zinc binding fold) بوده که همان تکرارهای IAP باکولوپیروسی (Baculoviral) است و خصوصیت دیگر، توانایی مهار مرگ برنامه‌ریزی شده سلولی PCD: Programmed Cell Death است [۱]. از پردازش

سوروایوین (Survivin) عضوی از خانواده پروتئینی مهارکننده مرگ برنامه‌ریزی شده سلول IAP: Inhibitor of apoptosis protein family است که در طول تکوین جنینی بیان می‌شود. اما در اکثر بافت‌های طبیعی با تمايز نهایی، قابل تشخیص نیست. IAPها با دو خصوصیت

* نشانی مکاتبه: تهران، تقاطع بزرگراه جلال آل احمد و شهید چمران، دانشگاه تربیت مدرس، گروه ژنتیک، صندوق پستی: ۱۷۵-۱۱۵-۱۴۱

E-mail: sjmowla@modares.ac.ir

به مرگ تعداد زیادی از نورون‌های حرکتی می‌شود [۱۱] در حالی که روند در قطع اعصاب محیطی موش‌های بالغ، این گونه نیست و معمولاً ترمیم (Regeneration) رخ می‌دهد.

با توجه به اینکه برقراری یک تعادل موزون بین تکثیر سلولی، بقای سلولی و مرگ برنامه‌ریزی شده سلول نقش مهمی در تکوین سیستم عصبی و ایجاد اتصالات نورونی دارد و علی‌رغم میانجیگری ژن سورواایوین در هومنوستازی (Homeostasis) بافت‌ها و نقش برجسته آن در مهار مرگ برنامه‌ریزی شده سلول، تاکنون بر روی بیان این ژن و نیز نسبت بیان واریانت‌های (Variants) آن در آسیب‌های عصب سیاتیک (Sciatic nerve)، هیچ‌گونه تحقیقی صورت نگرفته است. با توجه به اهمیت فرآیند ترمیم آسیب‌های نخاعی و عصبی در بیماران قطع نخاعی - عصبی، بررسی بیان واریانت‌های مختلف این ژن در سلول‌های آسیب‌دیده عصبی، می‌تواند در رسیدن به روش‌های درمانی مناسب مفید واقع شود و سهم درخور توجهی در بهبود احتمالی این بیماران ایفا کند.

۲- مواد و روش‌ها

۲-۱- حیوانات

موش‌های نر بالغ نژاد ان ماری (NMRI) (۸ تا ۱۲ هفت‌های) از مرکز نگهداری حیوانات آزمایشگاهی مؤسسه سرم‌سازی رازی واقع در حصارک کرج خردباری و تحت شرایط استاندارد از نظر آب و غذا و دیگر شرایط محیطی برای سازگار شدن با محیط جدید به مدت یک هفته در حیوانخانه نگهداری شدند. گروه‌های مورد بررسی عبارت بودند از ۷ گروه زمانی ۱۲، ۶، ۳، ۴، ۲۴، ۹۶ و ۱۴۴ ساعت پس از آسیب که در هر گروه از ۳ سر موش استفاده شد.

۲-۲- جراحی و نمونه‌گیری

موش‌ها به وسیله تزریق داخل صفاقی ترکیبی از دو داروی کتامین (Ketamine) ۱۰۰ میلی‌گرم بر کیلوگرم و زیالازین (Xylazine) ۱۰ میلی‌گرم بر کیلوگرم بهوش شدند و سپس شکافی به موازات بخش خارجی استخوان فمور پوست کار زده شد و عضلات ناحیه نیز به یک طرف کشانده شدند. پس از پیدا شدن عصب سیاتیک در عمق برش، عصب قطع شد و برای جلوگیری از رشد مجدد عصب حدود ۷-۵ میلی‌متر از

mRNA اولیه سورواایوین انسانی حداقل پنج نوع مختلف سورواایوین به نام‌های سورواایوین، سورواایوین-2B، سورواایوین-ΔEx3-3B و سورواایوین-2a تولید می‌شود [۲]. در موش نیز سه نوع پروتئین متمایز به نام‌های سورواایوین ۱۴۰، سورواایوین ۱۲۱ و سورواایوین ۴۰ با نقش‌های فیزیولوژیک منحصر به فرد تولید می‌شود [۳]. بیان سورواایوین در سلول‌های تمايز يافته خاموش یا شدیداً کاهش می‌باشد ولی بیان آن در رده‌های سلولی انسانی و بسیاری از بافت‌های سلطانی افزایش می‌باشد. سورواایوین برای انجام صحیح میتوز و تقسیم سلولی نیز مورد نیاز است و نقص در آن می‌تواند به فعال شدن یک نقطه کنترل (Check point) در چرخه سلولی منجر شده و در نهایت به القای مرگ برنامه‌ریزی شده سلول (Apoptosis) بیانجامد [۷-۴]. مطالعه در زمینه مرگ سلولی نشان داده است که طی دوران شکل‌زایی اندام‌ها (Morphogenesis)، در کنار تکثیر و تزايد سلولی، تعدادی از سلول‌ها در روندی به نام مرگ سلولی برنامه‌ریزی شده خودکشی می‌کنند [۸]. در سیستم عصبی نیز این روند فعال است با این تفاوت که نورون‌هایی که دچار مرگ سلولی می‌شوند برخلاف دیگر سلول‌ها جایگزین نمی‌شوند، بنابراین مرگ سلول‌های عصبی در دوران پس از تولد ضایعات جبران‌ناپذیری را به دنبال دارد.

در سیستم عصبی، مرگ سلولی ممکن است طی ۳ مرحله روی دهد. اولین مرحله مربوط به دوران جنینی و مراحل اولیه پس از تولد است که درصد زیادی از نورون‌ها در هر ناحیه از سیستم عصبی طی مرگ برنامه‌ریزی شده سلولی می‌میرند. مرحله دوم طی ناهنجاری‌های تحلیل برنده نورونی (Neurodegenerative) همچون آلزایمر (Alzheimer)، پارکینسون (Parkinson) و ... رخ می‌دهد و مرحله سوم در حالتی مانند آسیب اعصاب محیطی، کاهش اکسیژن خون (Hypoxia) و شوک ایجاد می‌شود [۱۰، ۹].

هم‌اکنون برای بررسی تغییرات نورون‌ها در هنگام مرگ برنامه‌ریزی شده سلول، قطع عصب (Axotomy) به عنوان مدلی استاندارد برای القای مرگ سلولی استفاده می‌شود. قطع عصب باعث وارد آمدن ضایعاتی به نخاع که جزئی از سیستم عصبی مرکزی (CNS: Central Nervous System) است می‌شود. پاسخ موجود زنده به قطع عصب به عوامل متعددی از جمله سن حیوان بستگی دارد، چنانچه طی دوران جنینی و در مراحل اولیه پس از تولد قطع آکسون‌های (Axons) حرکتی منجر

۵-۲- واکنش RT-PCR

میزان ۱ میکروگرم از RNA به دست آمده از نمونه های عصب سیاتیک و نخاع با ۰/۵ میکروگرم آغازگر الیگومر تیمیدین (Oligo-dT) و آب به حجم ۱۲ میکرولیتر رسانده شد و به مدت ۵ دقیقه در ۷۰ درجه سانتی گراد در دستگاه ترمو سایکلر (Techne) (Thermocycler) انکوبه شد و پس از انتقال روی یخ، ۴ میکرولیتر بافر تک شیر X (Fermentas) ۲ میکرولیتر ۱۰ میلی مolar (Cinnagen)، ۰/۵ میکرولیتر آرناسین (RNasin) ۲۰ واحد (Fermentas) و ۰/۵ میکرولیتر آب تیمار شده با DEPC به میکرولوله افزوده شد و سپس به مدت ۵ دقیقه در دمای ۳۷ درجه سانتی گراد انکوبه شد. پس از این مدت ۱ میکرولیتر از آنزیم RT (Reverse Transcriptase (MMuLV)] به ۲۰۰ واحد بر میکرولیتر (Fermentas) افزوده و حجم نهایی میکرولوله به ۲۰ میکرولیتر رسانده شد و سپس به مدت یک ساعت در دمای ۴۲ درجه سانتی گراد قرار گرفت. در نهایت نمونه برای مدت ۱۰ تا ۱۵ دقیقه در ۷۰ درجه سانتی گراد حرارت داده شد که این دما موجب غیرفعال شدن آنزیم RT و اسرشت شدن کمپلکس RNA-cDNA می شود. محصول واکنش تا زمان استفاده، در دمای ۲۰-۲۰ درجه سانتی گراد نگهداری شد.

۶- آغازگرها

در این تحقیق، ژن $\beta 2m$ (beta 2 microglobulin) به عنوان کنترل داخلی (Internal control) انتخاب و از آغازگرهایی که توسط عمادی و همکاران برای ژن $\beta 2m$ موشی طراحی شده بود، استفاده شد [۱۲]. برای ژن سوروایوین نیز آغازگرهایی که توسط کونوی (Conway) و همکاران طراحی شده بودند، استفاده شد [۳]. آغازگرهای ذکر شده و نیز آغازگر الیگومر تیمیدین با طول ۱۸ نوکلئوتید توسط شرکت (MWG) آلمان و با درجه خلوص HPSF (High Purified Salt Free) با شدت $\beta 2m$ (Blast) با ژنوم موش انجام شد [۱۳] تا از یکتا بودن محل جفت شدن آغازگرها اطمینان حاصل شود. نتایج جستجو در ژنوم، نشان داد که کلیه آغازگرها دارای محل باند شدن منحصر به فردی هستند.

توالی آغازگرهای مورد استفاده به شرح زیر است:

$\beta 2m$ -Mouse-Forward (BMF): 5'-TGA CCG GCT TGT ATG CTA TC-3'
 $\beta 2m$ -Mouse-Reverse (BMR): 5'-CAC ATG TCT CGA

آن در محل قطع برداشته شد. پوست ناحیه با نخ بخیه ۵-۰ دوخته و برای هر گروه زمانی ۳ موش جراحی شد. در زمانهای ذکر شده پس از آسیب عصب، موش ها به روش دررفتگی مهره های گردن (Distal dislocation) کشته و سپس قطعات انتهایی (Cervical dislocation) و ابتدایی (Proximal) عصب قطع شده، عصب بدون آسیب پای چپ به عنوان گروه کنترل و قطعات L4-L6 نخاعی که منشأ عصب سیاتیک هستند، نمونه ها پس از قرار گرفتن در میکرولوله های (Microtubes) عاری از RNase و نیتروژن مایع، تا زمان استخراج RNA در دمای ۸۰-۸۰ درجه سانتی گراد نگهداری شدند.

۲-۳- استخراج RNA کل (Total RNA) از نمونه های عصب سیاتیک و نخاع

با استفاده از محلول RNX plus و با کمی تغییرات نسبت به دستورالعمل شرکت سازنده برای مقادیر کم بافتی، RNA کل استخراج شد. به طور خلاصه بعد از یکنواخت نمودن بافت و افزودن ۸۰۰ میکرولیتر از محلول RNX به هر میکرولوله، ۱۶۰ میکرولیتر کلروفرم به میکرولوله افزوده و سپس به مدت ۱۵ دقیقه در ۱۲۰۰۰ g و دمای ۴ درجه سانتی گراد سانتریفوژ شد. پس از سانتریفوژ، فاز رویی به یک میکرولوله عاری از RNA دیگر متقل و RNA توسط ۴/۰ میلی لیتر ایزوپیروبانل سرد برای مدت حداقل ۴۵ دقیقه در دمای ۴ درجه سانتی گراد رسوب داده شد و سپس رسوب حاصل توسط اتanol ۷۵ درصد شستشو و در نهایت در آب تیمار شده با دی اتیل پیرو کربونات (Diethylpyrocarbonate: DEPC) حل شد.

۴- بررسی کمی و کیفی RNA استخراج شده

RNA استخراج شده از نظر کمی و کیفی با روش UV اسپکتروفوتومتری (UV spectrophotometry) و الکتروفورز ژل آگارز (Agarose gel electrophoresis) بررسی شد. بدین منظور غلاظت یک درصد از RNA تهیه شد و جذب نوری آن در طول موج های ۲۶۰ و ۲۸۰ نانومتر به دست آمد.

ژل آگارز یک درصد با بافر (Tris-borate-EDTA) TBE تهیه شد و سپس ۷ میکرولیتر از نمونه به علاوه بافر همراه (Loading buffer) در چاهک ریخته و نمونه به مدت ۱ ساعت و با ولتاژ ۹۰ ولت الکتروفورز شد و سپس توسط دستگاه UV-tec بررسی و عکس برداری صورت گرفت.

نرم افزار UV-tec سنجیده شد و نتایج حاصل از ۳ تکرار برای هر گروه زمانی با آزمون آماری تحلیل واریانس یک طرفه ANOVA و آزمون توکی (Tukey) آنالیز آماری شد.

۱۰-۲- بهینه‌سازی واکنش PCR

برای بهینه‌سازی واکنش PCR و به منظور تعیین تعداد چرخه مناسب (وجود باند قابل رویت قبل از وارد شدن واکنش PCR به مرحله کفه (Plateau)) که امکان بررسی نیمه کمی (Semi-quantitative) نتایج PCR را فراهم می‌آورد از نمونه‌های عصب و نخاع طبیعی موش بالغ استفاده شد. در این نمونه‌ها برای ژن $\beta2m$ ، تعداد ۸ میکرولوله ($5\text{ }\mu\text{l}$) همسان حاوی مخلوط PCR تهیه شد که از چرخه ۲۰ تا ۳۵، هر ۲ چرخه یک لوله از دستگاه خارج و محصول آن با ژل آگارز یک درصد بررسی شد. باند حاصل مناسب با اندازه قطعه طراحی شده برای این ژن (316 bp) جفت باز بود و شدت علامت به دست آمده یک افزایش نسبتاً خطی را به موازات افزایش تعداد چرخه PCR نشان داد. بر اساس نتایج به دست آمده، تعداد چرخه ۲۶ برای نمونه‌های نخاعی و تعداد چرخه ۳۰ برای نمونه‌های عصب سیاتیک در نظر گرفته شد و در ادامه تحقیق این چرخه‌های تعیین شده استفاده شدند. در خصوص ژن سوروایوین با توجه به اینکه بیان این ژن در نمونه‌های طبیعی مربوط به عصب سیاتیک مشاهده نشد، بنابراین تعداد ۳۵ چرخه برای تمام زمان‌های مورد بررسی پس از آسیب در نظر گرفته شد.

۱۱-۲- تهیه نمونه کنترل مثبت و بررسی اختصاصی بودن آغازگرهای طراحی شده

به دلیل اینکه بیان ژن سوروایوین در دوران جنینی بسیار بالاست، برای تأیید اختصاصی بودن آغازگرهای طراحی شده و همچنین تهیه نمونه کنترل مثبت برای واکنش PCR، از نمونه مفرز جنین موش استفاده شد. دمای اتصال و غلظت $MgCl_2$ مناسب به کمک PCR گرادیانت بررسی شد. دماهای مورد آزمایش 53°C ، 51°C ، 50°C و 49°C درجه سانتی گراد و غلظت‌های $MgCl_2$ $1/5$ ، $2/5$ و $3\text{ }\mu\text{l}$ مولار بودند که در نهایت هم برای سوروایوین 140°C و سوروایوین 40°C هم برای سوروایوین 121°C ، بهترین دمای اتصال، دمای 55°C درجه سانتی گراد و بهترین غلظت $MgCl_2$ برابر با $1/5$ میلی مولار انتخاب شد.

TCC CAG TAG-3'

Srvs 86 (Forward): 5'-TCG CCA CCT TCA AGA ACT GGC CCT TCC TGG A-3'

Srvs 311 (Reverse 1): 5'-GTT TCA AGA ATT CAC TGA CGG TTA GTT CTT-3'

Srvs 6380 (Reverse 2): 5'-GGC TTC TGA CAA TGC TTG-3'

۷-۲- واکنش PCR

به $2\text{ }\mu\text{l}$ میکرولیتر از محصول واکنش RT، $2/5\text{ }\mu\text{l}$ میکرولیتر بافر تکثیر $X\text{ }10X$ ($Cinnagen$)، $0.75\text{ }\mu\text{l}$ میکرولیتر $MgCl_2$ ، $0.5\text{ }\mu\text{l}$ میکرولیتر ($Cinnagen$)، $0.5\text{ }\mu\text{l}$ dNTP میلی مولار $0.2\text{ }\mu\text{l}$ میکرولیتر آنزیم تگ (Forward) و پایین دست (Reverse)، $0.2\text{ }\mu\text{l}$ میکرولیتر آنزیم تگ پلیمراز DNA (Taq DNA Polymerase) $5\text{ }\mu\text{l}$ واحد بر میکرولیتر ($Cinnagen$) و آب تا حجم $25\text{ }\mu\text{l}$ میکرولیتر اضافه شد.

35°C چرخه به صورت واسرشت سازی (Denaturation) 94°C درجه سانتی گراد، 30 s ثانیه، اتصال (Annealing) 55°C درجه سانتی گراد، 30 s ثانیه) و طویل‌سازی (Extension) 72°C درجه سانتی گراد، 4 min ثانیه) در دستگاه ترمال سایکلر اجرا شد. در انتهای واکنش، یک چرخه طویل‌سازی نهایی (72°C درجه سانتی گراد) به مدت 10 min اجرا و محصول PCR با ژل الکتروفورز یک درصد بررسی شد.

۸- هضم محصول PCR

به منظور اطمینان از هویت قطعات تکثیر شده با PCR و تأیید واریانت‌های مشاهده شده، الگوی هضم محصولات PCR بررسی شد. برای دو واریانت سوروایوین 140°C و سوروایوین 40°C از آنزیم محدود کننده Fermentas EcoRI استفاده شد که طول قطعات حاصل از هضم آنزیمی در خصوص سوروایوین 140°C ، 142°C و 12°C جفت باز و در خصوص سوروایوین 40°C ، 42°C و 12°C جفت باز بودند. در نهایت و پس از انجام واکنش، برای برسی قطعات حاصل از هضم آنزیمی، به دلیل کوچک بودن قطعات از ژل آکریل آمید 8 cm درصد استفاده شد.

۹- آنالیز آماری

محصول PCR تحت تابش نور مأورای بنفس و به واسطه حضور اتیدیوم بروماید (Ethidium bromide) در ژل آگارز مشاهده و از آن عکس برداری شد. شدت علایم هر باند به کمک

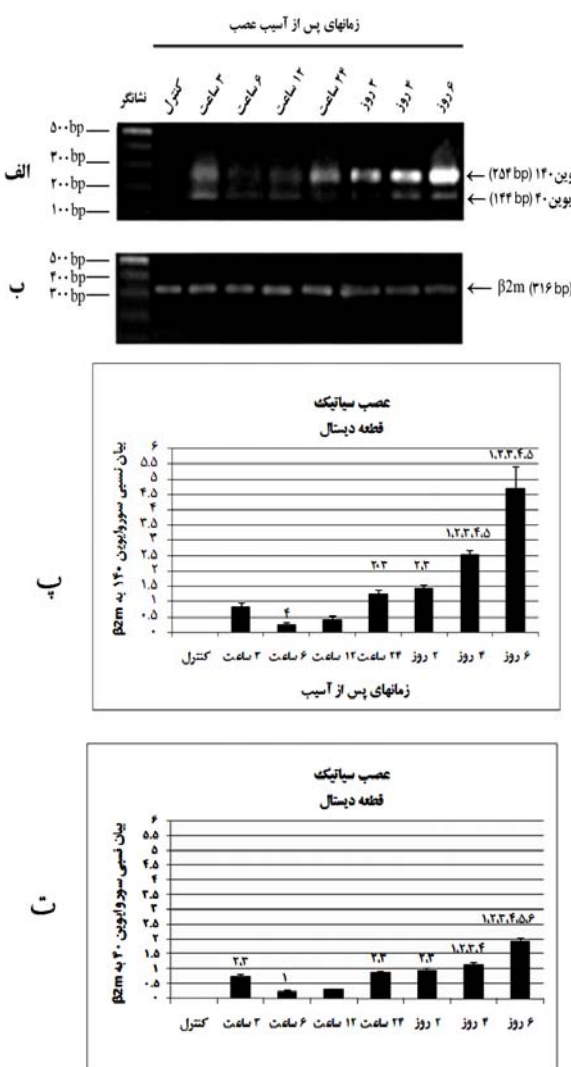
۳- نتایج

۱- تعیین الگوی بیان ژن سوروایوین پس از آسیب عصب سیاتیک

برای بررسی الگوی تغییرات بیان ژن سوروایوین موشی پس از آسیب عصب سیاتیک، از قطعه انتهایی و ابتدایی، عصب سیاتیک در پای دیگر موش (بدون آسیب) و همچنین قطعات L6-L4 نخاع در زمان‌های ۱۲، ۲۴ و ۲۶ ساعت و روزهای ۲، ۴ و ۶ پس از آسیب نمونه‌برداری شد و بیان ژن سوروایوین در آن‌ها به کمک روش RT-PCR نیمه کمی مورد بررسی قرار گرفت. برای اطمینان از اینکه در هر واکنش میزان یکسانی از RNA به کار رفته و تفاوت احتمالی در شدت علامت باند مشاهده شده در هر گروه به دلیل اختلاف در میزان RNA اولیه به کار رفته نبوده است، از ژن $\beta2m$ به عنوان کنترل داخلی استفاده شد.

در کلیه گروه‌بندی‌های زمانی، واکنش PCR با شرایط یکسان (به جز تعداد چرخه مربوط به $\beta2m$ در عصب و نخاع که متفاوت بود) برای دو ژن سوروایوین و $\beta2m$ انجام شد و نتایج به طور مقایسه‌ای مورد بررسی قرار گرفتند. الکتروفورز محصولات PCR در مورد ژن $\beta2m$ یک باند و در مورد ژن سوروایوین در قطعات دو طرف عصب آسیب‌دیده، دو باند با اندازه‌های مختلف نشان داد که اندازه‌های به دست آمده معادل با اندازه قطعه طراحی شده برای $\beta2m$ (۳۱۶ جفت باز) و سوروایوین (۲۵۴ و ۱۴۴ جفت باز) بود (الف و ب از شکل ۱).

در نخاع تنها بیان سوروایوین ۱۴۰ و کنترل داخلی مشاهده شد (الف و ب از شکل ۳) و بیان سوروایوین ۱۲۱ نه در عصب و نه در نخاع مشاهده نشد. لازم به ذکر است که در بار اول PCR مربوط به ژن سوروایوین، هیچ‌گونه باندی مشاهده نشد و باندهای به دست آمده محصول بار دوم واکنش PCR بودند ضمن اینکه در نمونه مربوط به عصب پای دیگر که بدون آسیب نمونه‌برداری شده بود حتی پس از بار دوم بیان هیچ‌کدام از واریانت‌های ژن سوروایوین مشاهده نشد. واکنش PCR برای دو ژن فوق در دو میکروولوله جداگانه انجام شد و محصول دو واکنش نیز در هنگام الکتروفورز به میزان مساوی ولی در دو ژل مجزا ریخته شد و هویت باندهای مشاهده شده با هضم آنزیمی توسعه آنزیم EcoRI بررسی و تأیید شد (شکل ۴).



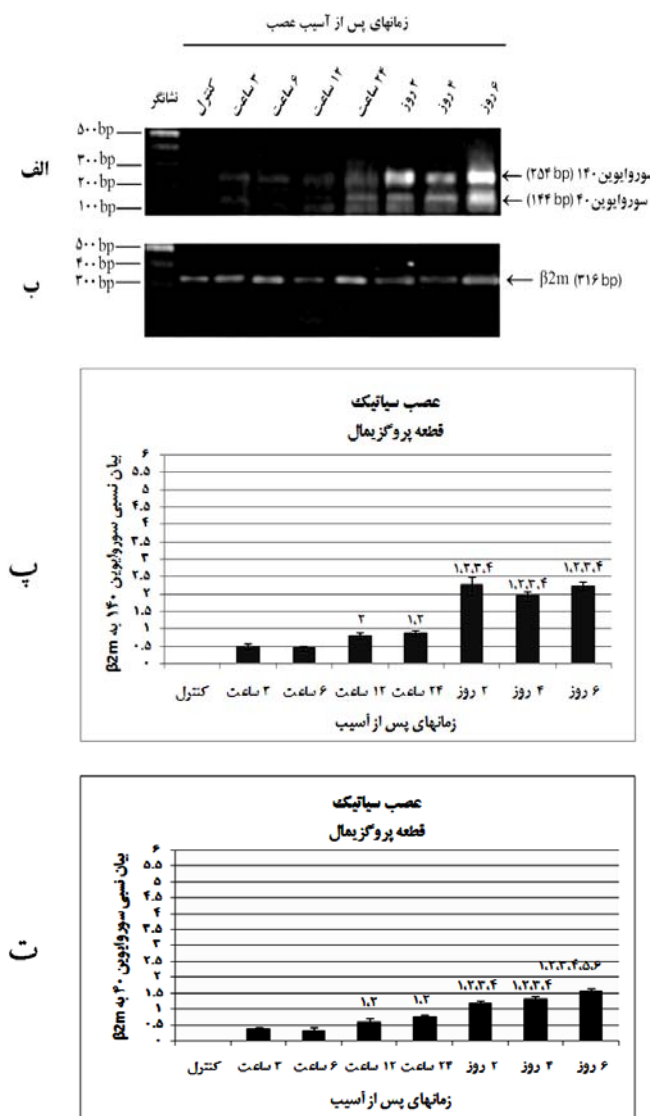
شکل ۱ طرح الکتروفورزی محصول PCR ژن‌های $\beta2m$ و سوروایوین در عصب سیاتیک آسیب ندیده (کنترل) و همچنین پس از آسیب وارده به عصب در قطعه دیستال ضایعه به علاوه نمودار میانگین شدت بیان نسیی دو واریانت سوروایوین در این قطعه.

الف: ستون اول نشانگر وزن مولکولی DNA. ستون دوم عصب آسیب ندیده (کنترل) و ستون‌های دیگر به ترتیب بیان دو واریانت سوروایوین ۱۴۰ و سوروایوین ۴۰ در زمان‌های ۱۲، ۲۴ و ۲۶ ساعت و روزهای ۲، ۴ و ۶ پس از آسیب در قطعه دیستال را نشان می‌دهد.

ب: ستون اول نشانگر وزن مولکولی DNA. ستون دوم عصب آسیب ندیده (کنترل) و ستون‌های دیگر به ترتیب بیان ژن $\beta2m$ در زمان‌های ۱۲، ۲۴ و ۲۶ ساعت و روزهای ۲، ۴ و ۶ پس از آسیب در قطعه دیستال را نشان می‌دهد.

پ: نمودار میانگین شدت بیان نسیی سوروایوین ۱۴۰ به $\beta2m$ در قطعه دیستال در مورد باندهای پ و ت، اندازه‌گیری در هر گروه زمانی به صورت نسبت شدت باند سوروایوین به باند $\beta2m$ می‌باشد و نتایج به صورت Mean±S.D. نشان داده شده است.

=۱ اختلاف معنی دار (significant difference) با ۳ ساعت، =۲ اختلاف معنی دار با ۶ ساعت، =۳ اختلاف معنی دار با ۱۲ ساعت، =۴ اختلاف معنی دار با ۲۴ ساعت، =۵ اختلاف معنی دار با ۲ روز، =۶ اختلاف معنی دار با ۴ روز، =۷ اختلاف معنی دار با ۶ روز.



شکل ۲ طرح الکتروفورزی PCR ژنهای $\beta2m$ و سوروایوین در عصب سیاتیک آسیب ندیده (کنترل) و همچنین پس از آسیب وارد به عصب در قطعه پروگریمال ضایعه به علاوه نمودار میانگین شدت بیان نسبی دو واریانت سوروایوین در این قطعه.

الف: ستون اول نشانگر وزن مولکولی DNA. ستون دوم عصب آسیب ندیده (کنترل) و ستون های دیگر به ترتیب بیان دو واریانت سوروایوین ۱۴۰ و سوروایوین ۴۰ در زمان های ۱۲، ۶، ۳ و ۲۴ ساعت و روزهای ۲، ۴ و ۶ پس از آسیب در قطعه پروگریمال را نشان می دهد.

ب: ستون اول نشانگر وزن مولکولی DNA. ستون دوم عصب آسیب ندیده (کنترل) و ستون های دیگر به ترتیب بیان ژن $\beta2m$ در زمان های ۱۲، ۶، ۳ و ۲۴ ساعت و روزهای ۲، ۴ و ۶ پس از آسیب در قطعه پروگریمال را نشان می دهد.

پ: نمودار میانگین شدت بیان نسبی سوروایوین ۱۴۰ به $\beta2m$ در قطعه پروگریمال: نمودار میانگین شدت بیان نسبی سوروایوین ۴۰ به $\beta2m$ در قطعه پروگریمال در مورد بند های پ و ت، اندازه گیری در هر گروه زمانی به صورت نسبت شدت باند سوروایوین به باند $\beta2m$ می باشد و نتایج به صورت Mean±S.D. نشان داده شده است.

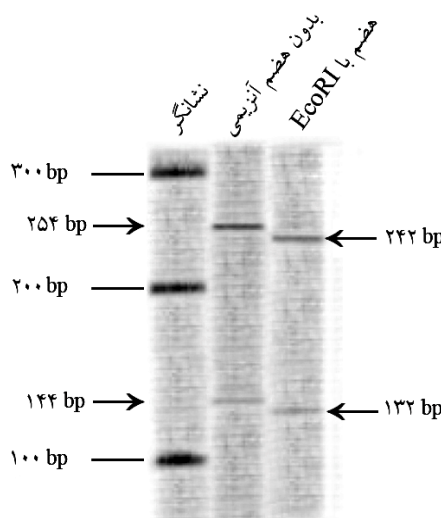
۱= اختلاف معنی دار (significant difference) با ۳ ساعت، ۲= اختلاف معنی دار با ۶ ساعت، ۳= اختلاف معنی دار با ۱۲ ساعت، ۴= اختلاف معنی دار با ۲۴ ساعت، ۵= اختلاف معنی دار با ۲ روز، ۶= اختلاف معنی دار با ۴ روز، ۷= اختلاف معنی دار با ۶ روز.

۲-۳- بررسی مقایسه ای بیان نیمه کمی ژن سوروایوین در عصب سیاتیک و نخاع موش

برای هر گروه زمانی، آزمایش RT-PCR روی قطعه انتهایی، قطعه ابتدایی و قطعات L6-L4-Nخاع که مربوط به عصب سیاتیک هستند در سه سری تکرار شد و شدت علامت برای کلیه باندها به کمک نرم افزار UVI-tec سنجیده شد. در هر گروه زمانی، پس از حذف اثر زمینه، شدت دو باند مربوط به واریانت های سوروایوین به دست آمد. شکل های ۱ تا ۳ به ترتیب میانگین شدت بیان نسبی سوروایوین ۱۴۰ به $\beta2m$ در قطعه انتهایی (شکل ۱-پ)، میانگین شدت بیان نسبی سوروایوین ۴۰ به $\beta2m$ در قطعه انتهایی (شکل ۱-ت)، میانگین شدت بیان نسبی سوروایوین ۱۴۰ به $\beta2m$ در قطعه ابتدایی (شکل ۲-پ)، میانگین شدت بیان نسبی سوروایوین ۴۰ به $\beta2m$ در قطعه ابتدایی (شکل ۲-ت) و میانگین شدت بیان نسبی سوروایوین ۱۴۰ به $\beta2m$ در قطعات L6-L4-Nخاع (شکل ۳-پ) را نشان می دهند که در قطعه انتهایی و ابتدایی واریانت غالب سوروایوین ۱۴۰ بود و در قطعات نخاعی نیز تنها بیان این واریانت مشاهده شد. نتایج در هر نمودار به صورت میانگین \pm انحراف استاندارد (Mean \pm Standard deviation: Mean \pm S.D.) نشان داده شده است که برای آنالیز نتایج به دست آمده از آزمون آماری تحلیل واریانس یک طرفه و آزمون توکی استفاده شد.

۳-۳- بررسی توزیع سلولی پروتئین سوروایوین با استفاده از روش ایمونو هیستو شیمی

برای انجام روش ایمونو هیستو شیمی (Immunohistochemistry) پس از تهیه بلوک های پارافینه و برش هایی با ضخامت ۵ میکرومتر، برای بهینه سازی آزمایش نیاز به نمونه کنترل مثبتی بود که بیان ژن سوروایوین روی آن قابل تشخیص باشد و در ابتدا روش روی این نمونه بهینه شود. به دلیل اینکه در بررسی های حاصل از RT-PCR بیان ژن سوروایوین در نمونه نخاع طبیعی (بدون وارد کردن آسیب) مشاهده شده بود، بنابراین از این نمونه طبیعی به عنوان کنترل مثبت آزمایش استفاده شد و روش ایمونو هیستو شیمی روی آن بهینه سازی شد که نتایج نشان داده نشده است.



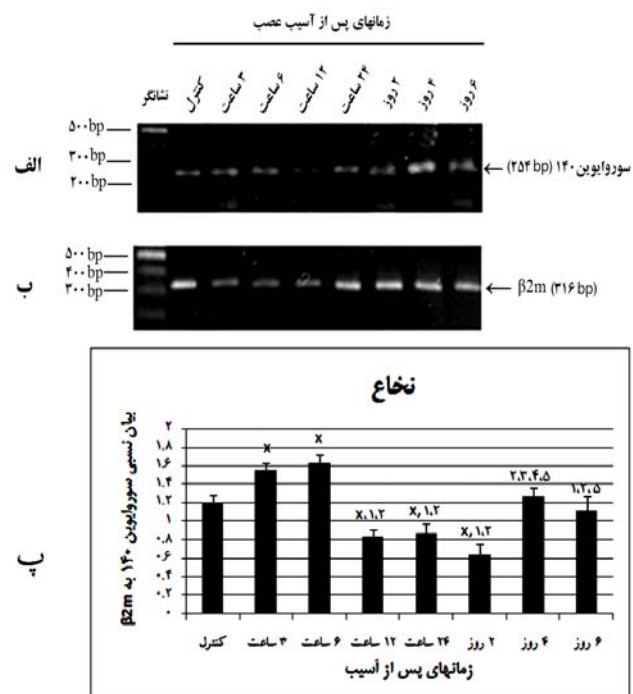
شکل ۴ طرح الکتروفورزی هضم محصول PCR با آنزیم EcoRI روی ژل آکریل آمید ۸ درصد ستون اول نشانگر وزن مولکولی DNA. ستون دوم محصول PCR بدون هضم آنژیو و ستون سوم محصول PCR هضم شده با آنزیم EcoRI را نشان می‌دهد.

پس از بهینه‌سازی واکنش روزی نمونه کنترل مثبت، بررسی پروتئین سوروایوین در نمونه‌های عصبی و همچنین قطعات L4-L6 نخاعی پس از گذشت ۶ روز (۱۴۴ ساعت) از آسیب وارد به عصب سیاتیک، صورت گرفت. توزیع پروتئین سوروایوین در قطعات نخاعی هم به صورت سیتوپلاسمی و هم به صورت هسته‌ای مشاهده شد که این موضوع می‌تواند به دلیل وجود واریانت‌های مختلف سوروایوین باشد. در لام‌های کنترل منفی هیچ‌گونه واکنش غیر اختصاصی دیده نشد. لازم به ذکر است که در بررسی‌های صورت گرفته در عصب سیاتیک، هیچ‌گونه علامتی که نشان دهنده بیان پروتئین سوروایوین در این بافت باشد، مشاهده نشد (شکل ۵).

۴- بحث

مرگ برنامه‌ریزی شده سلول فرآیندی فیزیولوژیک بوده که طی آن برنامه‌های ذاتی مولکولی در سلول فعال شده و موجب تخریب و انهدام سلول می‌شوند. فرآیند مرگ سلولی یکی از خصوصیات اساسی تمامی ارگانیزم‌های (Organisms) چند سلولی است که برای تکوین، شکل‌زایی اندام‌ها، هوموستاز بافت‌ها و دفاع در مقابل سلول‌های عفونی یا آسیب‌دیده بسیار ضروری و حیاتی است [۱۴]. در صورتی که مرگ برنامه‌ریزی شده سلولی بیش از اندازه اتفاق بیفتند می‌تواند منجر به بیماری‌هایی مختلفی از جمله بیماری‌های

به‌منظور بررسی حساسیت و دقت آنتی‌بادی، از هر نمونه یک لام نیز به عنوان کنترل منفی تهیه شد. در این نمونه‌ها در مرحله انکوبه کردن (Incubation)، به جای آنتی‌بادی اولیه از بافر مسدود کننده (Blocking buffer) استفاده شده است. نبود علامت قهوه‌ای در رنگ آمیزی بدون آنتی‌بادی اولیه، نشان دهنده اختصاصی بودن واکنش آنتی‌بادی اولیه با پروتئین سوروایوین است.



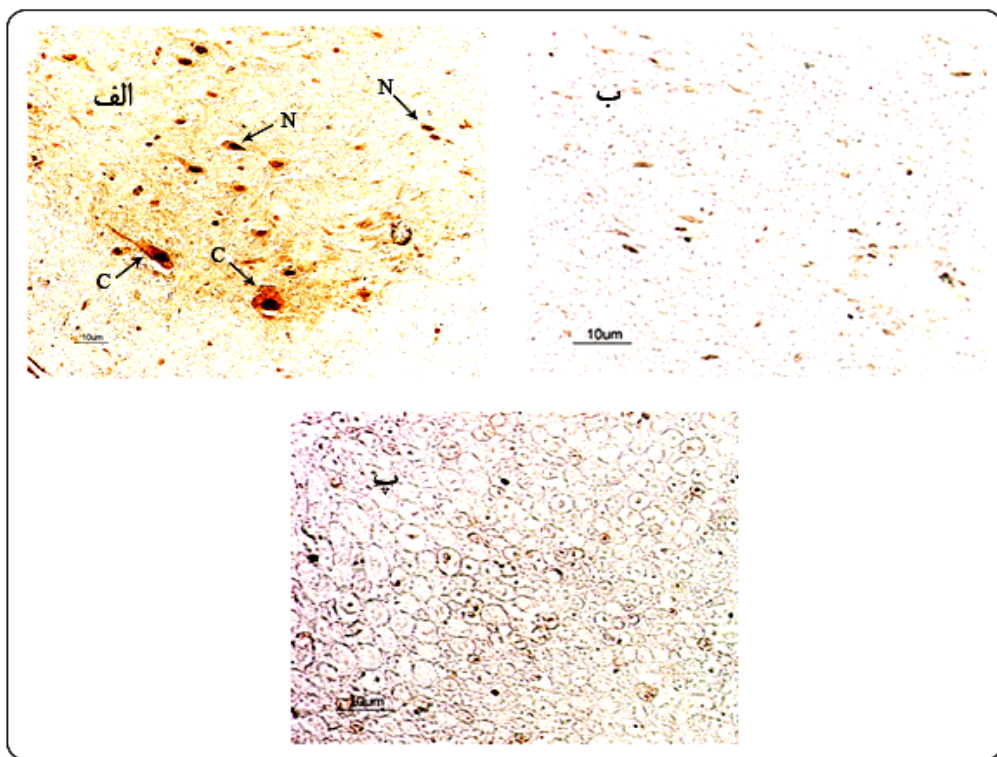
شکل ۳ طرح الکتروفورزی محصول PCR ژن‌های $\beta2m$ و سوروایوین در نخاع آسیب ندیده (کنترل) و همچنین پس از آسیب وارد به عصب سیاتیک در قطعات L4-L6 نخاع به علاوه نمودار میانگین شدت بیان نسیبی سوروایوین ۱۴۰ در این قطعات.

الف: ستون اول نشانگر وزن مولکولی DNA. ستون دوم نخاع آسیب ندیده (کنترل) و ستون‌های دیگر به ترتیب بیان زن $\beta2m$ در زمان‌های ۱۲، ۶، ۳ و ۲۴ ساعت و روزهای ۲، ۴ و ۶ پس از آسیب عصب سیاتیک در قطعات L4-L6 نخاع را نشان می‌دهد.

ب: ستون اول نشانگر وزن مولکولی DNA. ستون دوم نخاع آسیب ندیده (کنترل) و ستون‌های دیگر به ترتیب بیان زن $\beta2m$ در زمان‌های ۱۲، ۶، ۳ و ۲۴ ساعت و روزهای ۲، ۴ و ۶ پس از آسیب عصب سیاتیک در قطعات L4-L6 نخاع را نشان می‌دهد.

پ: نمودار میانگین شدت بیان نسیبی سوروایوین ۱۴۰ به $\beta2m$ در زمان‌های ۱۲، ۶، ۳ و ۲۴ ساعت در بند پ اندازه‌گیری در هر گروه زمانی به صورت نسبت شدت باند سوروایوین به باند $\beta2m$ است و نتایج به صورت Mean±S.D. نشان داده شده است.

= اختلاف معنی دار (significant difference) با نمونه کنترل (آسیب ندیده)
۱= اختلاف معنی دار با ۳ ساعت، ۲= اختلاف معنی دار با ۶ ساعت، ۳= اختلاف معنی دار با ۱۲ ساعت، ۴= اختلاف معنی دار با ۲۴ ساعت، ۵= اختلاف معنی دار با ۲ روز، ۶= اختلاف معنی دار با ۴ روز، ۷= اختلاف معنی دار با ۶ روز.



شکل ۵ بررسی بیان پروتئین سوروایوین به دنبال آسیب عصب سیاتیک در قطعات نخاعی مرتبط با عصب و همچنین در عصب سیاتیک الف: توزیع هسته‌ای و سیتوپلاسمی سوروایوین، ۶ روز (۱۴۴ ساعت) پس از آسیب وارد به عصب سیاتیک در قطعات نخاعی مرتبط با عصب سیاتیک؛ ب: لام کتترل منفی واکنش ایمونوهیستوشیمی روی قطعات نخاعی ۶ روز (۱۴۴ ساعت) پس از آسیب وارد به عصب سیاتیک؛ پ: واکنش ایمونوهیستوشیمی روی عصب سیاتیک آسیب دیده. در بررسی‌های صورت گرفته در عصب سیاتیک، هیچ گونه سیگنالی که نشان‌دهنده قاطع بیان پروتئین سوروایوین در این بافت باشد، مشاهده نشد.

برای مثال برخی از ژن‌هایی که به دنبال قطع عصب گانگلیون سمباتیک (Sympathetic ganglion) با کاهش بیان مواجه بودند عبارتند از CD24/nectradin (مهارکننده) و گیرنده ۱ فعال شده با پروتئیناز/ترومین (مهارکننده) که [Proteinase activated receptor 1/Thrombin (inhibitor)] از تنظیم کننده‌های زایده‌های نورونی (Neurite outgrowth) هستند [۱۷] یا سیناپسین ۲ (Synapsin 2)، گیرنده سکرین (Secretin receptor) و دکربوکسیلاز ال-آمینواسید حلقوی (Aromatic L-amino acid decarboxylase) که از مولکول‌های انتقال نورونی هستند [۱۸]. همچنین مولکول‌هایی مانند فسفولیپاز C-β1 (Phospholipase C-β1) [۱۷] و پروتئین متصل‌شونده به اینوزیتول ۱، ۴، ۵ تری فسفات (Inositol 1, 4, 5 triphosphate binding protein) [۱۷، ۱۶] که از مولکول‌های انتقال بیام هستند به دنبال قطع عصب گانگلیون (۴۸ ساعت پس از آسیب) با کاهش بیان مواجه بوده‌اند. در مقابل بیان برخی از ژن‌ها در بررسی‌های صورت گرفته به دنبال آسیب‌های وارد به سیستم عصبی با افزایش بیان مواجه هستند.

تحلیل برنده نورونی و نقص ایمنی شود [۱۴]. پروتئین‌های مختلفی در تنظیم مرگ برنامه‌ریزی سلولی نقش دارند که عده‌ای از آن‌ها پیش‌برنده و عده‌ای دیگر مهارکننده آن هستند. سوروایوین یکی از پروتئین‌های مهارکننده مرگ برنامه‌ریزی شده سلول است که علاوه بر مهار مرگ برنامه‌ریزی شده سلول، در پایدار ساختن ریزلوله‌های (Microtubule) دوک مرکزی در اواخر میتوز و تفکیک یکسان کروموزوم‌های خواهری در چرخه سلولی نقش مهمی را ایفا می‌نماید [۱]. تاکنون نحوه بیان ژن‌های مختلفی پس از آسیب‌های وارد به سیستم عصبی بررسی و مطالعه شده است. این ژن‌ها شامل ژن‌های دخیل در فرآیندهای مختلف سلولی از جمله پروتوانکوژن‌ها (Proto-oncogenes) [۱۶، ۱۵] ژن‌های مرتبط با تکثیر و حیات سلولی (Cell Survival) [۱۷-۱۵] ژن‌های مرتبط با نوروتروفین‌ها (Neurotrophins) [۲۰-۱۸] و ... هستند. تحقیقات نشان داده است که میزان بیان، در برخی ژن‌ها با کاهش نشان داده است (Down regulation)، در برخی با افزایش (Up regulation) سایرین ثابت مانده است.

بيان ژن سوروايوبين پس از TBI نيز بررسى شده است [۲۷]. TBI منجر به فعال شدن انواعی از آبشارهای بيوشيميايی می شود که باعث القای آسيب بافت های نورونی و مرگ سلولی می شود. در مقابل انواعی از پروتئین ها به دنبال TBI در سلول های نورونی بيان می شوند که مرتبط با مهار مرگ سلولی و پيشيرد بهبود در سистем عصبی مرکزی هستند. در بررسی صورت گرفته توسيط جانسون (Johnson) و همكاران در سال ۲۰۰۴، بيان سوروايوبين وايسته به زمان (Time dependent) و ويژه سلولی (Cell specific) بوده [۲۷] و در سلول های ستاره ای شکل (Astrocytes) به ميزان بيشتر و در نورون ها به ميزان كمتر بيان شده است.

نتایج حاصل از RT-PCR در تحقیق حاضر نیز مطابق نتایج عمادی و همكاران، به تکثیر قطعه ۳۲۲ جفت بازی مربوط به سوروايوبين ۱۲۱ نيانجاميد [۲۶] و بنابراین وجود اين واريانت در قطعات انتهائي و ابتدائي عصب سياتيك آسيب دیده و همچنين قطعات نخاعي L6-L4 موش های ان ماري تشخيص داده نشد. همچنان در بررسی دو واريانت سوروايوبين ۱۴۰ و سوروايوبين ۱۴۰ واريانت غالب در قطعات انتهائي، ابتدائي و همچنين قطعات نخاعي مربوط به عصب سياتيك سوروايوبين ۱۴۰ بود که در قطعه انتهائي پس از ايجاد ضاييعه و با قطع ارتباط عصب با پريكاريون (Pericarion)، در بيان ژن كاهش مشاهده شد که پس از گذشت يك روز مجدد افزايش بيان ژن دیده شد که احتمالاً اين افزايش نشان دهنده شروع مرحله ترميم است در حالی که در قطعه ابتدائي در مجموع افزايش بيان مشاهده شد. در قطعات نخاعي برخلاف قطعات انتهائي و ابتدائي عصب، تأثير آسيب وارد در بيان ژن ديرتر مشاهده شد، به گونه ای که در ۶ ساعت آغازين افزايش و پس از گذشت ۶ ساعت از آسيب كاهش بيان مشاهده شد و افزايش پس از اين كاهش پس از گذشت ۹۶ ساعت از آسيب آشكار شد.

براي بررسى بيان پروتئين سوروايوبين در عصب سياتيك آسيب دیده و قطعات نخاعي مرتبط با عصب سياتيك از روشن ايمونوهيستوشيمى استفاده شد که مطابق اين روش بيان اين پروتئين پس از گذشت يك هفته از آسيب در قطعات نخاعي، هم در سيتوپلاسم و هم در هسته مشاهده شد که اين نتيجه می تواند مرتبط با وجود واريانت های مختلف سوروايوبين باشد که در مناطق مختلف سلول بيان آن مشاهده شده است [۲۸]. در بررسى قطعات دو طرف عصب آسيب دیده، بيان اين پروتئين مشاهده نشد که با توجه به نتایج حاصل از بررسی ژن سوروايوبين و انجام آزمایشها RT-PCR، عدم مشاهده علامت مرتبط با اين پروتئين در قطعات مربوط به

كه از اين ميان می توان به پروتئين هاي چون پروتئين ۷۰ شوك حرارتی (Heat-shock protein 70: HSP 70) [۱۷]، مهارکننده Bax inhibitor-1 (Bax) [۱۷، ۱۵] و سوبراكسيد ديسموتاز (Superoxide dismutase) با حیات سلولی هستند و همچنان سايكلين Cyclin B1 B1 (Cyclin B1) [۱۷]، که از پروتئين های مرتبط با حیات سلولی هستند ۲ کنترل کننده چرخه تقسیم سلول (Cell division cycle control protein 2)، که از پروتئين های مرتبط با تکثیر سلولی هستند، اشاره نمود [۱۷].

با توجه به اينکه برقراری تعادل موزون بین تکثیر سلولی و مرگ برنامه ریزی شده سلول، نقش مهمی در تکوین سیستم عصبی و ایجاد اتصالات نورونی داشته و به هم خوردن این تنظیمات پیامدهای متعددی را به همراه دارد و با توجه به نقش ژن سوروايوبين در هومئوستازی بافت ها و مهار مرگ برنامه ریزی شده سلول، بررسی بيان واريانت های مختلف اين ژن در سلول های آسيب دیده عصبی می تواند کمک به سازابی در شناخت بهتر و قایع مولکولی حاکم بر ضایعات تحیلی برنده مغزی- نخاعی نموده و سهم بالقوه ای در بهبود احتمالی این بیماران ایفا کند.

به طور کلی می توان گفت که مطالعاتی که تا کنون در خصوص ژن سوروايوبين صورت گرفته است، بيشتر در ارتباط با تغييرات بيان آن در سرطان های مختلف بوده و اينکه آيا می توان از اين ژن به عنوان يك نشانگر تومور در پيش آگهی اين سرطان ها استفاده نمود یا خير [۲۱، ۷-۲۵]. همچنان در سیستم عصبی نیز بيان اين ژن در تعداد محدودی از مطالعات از جمله طی تکوین مغز موش و آسيب های مغزی تروماتیک (Traumatic Brain Injury: TBI) مطالعه شده است که در ادامه به آنها اشاره می شود. در تحقیق حاضر برای اولین بار به بررسی بيان اين ژن به دنبال اثر آسيب وارد به عصب سياتيك پرداخته شده است. عمادی و همكاران به بررسی بيان ژن سوروايوبين در سیستم عصبی طی تکوین مغز موش پرداختند [۲۶] و گزارش کردند که دو واريانت سوروايوبين ۱۴۰ و سوروايوبين ۱۴۰ در مغز موش بيان می شود که از اين ميان شدت بيان سوروايوبين ۱۴۰ بيشتر از واريانت دوم است، همچنان بيان اين دو واريانت در دوران قبل از تولد بيشتر از دوران بعد از آن است که اين يافته در راستای مطالعات پيشين است که كاهش یا خاموشی بيان اين ژن را در بافت های بالغ گزارش کرده است [۷]. در نتایج حاصل از اين تحقیق، بيان سوروايوبين ۱۲۱ تشخيص داده نشد که اين گزارش متضاد با گزارش کونوی و همكاران بود [۳] که بيان اين واريانت را در اکثر بافت های موش گزارش کرده بود. همچنان

باشد. هرچند که نتیجه‌گیری نهایی با بررسی بیان این ژن و پروتئین آن در زمان‌های طولانی‌تر مقدور خواهد بود. با توجه به نتایج حاصل از این تحقیق و تحقیقات دیگر، می‌توان این گونه پیشنهاد نمود که احتمالاً بالا رفتن بیان ژن سوروایوین در این آسیب‌ها می‌تواند با به تأخیر انداختن مرگ سلولی از طریق مرگ برنامه‌ریزی شده سلول، فرصت مناسب را برای ترمیم و بازسازی سلول‌های آسیب‌دیده فراهم آورد.

عصب سیاتیک را می‌توان مرتبط به پراکنش و عدم تمرکز علایم در سطح سلولی یا نیمه عمر کم پرتوین ستر شده در عصب دانست. نتایج حاصل از این تحقیق بیانگر آن است که سوروایوین به طور متمایزی طی دوره ترمیم در عصب و نخاع آسیب‌دیده بیان و پردازش می‌شود. همچنین نتایج بدست آمده پیشنهاد می‌نماید که دستکاری در بیان و یا پردازش رونوشت اولیه سوروایوین می‌تواند تأثیر بالقوه‌ای در فرآیند ترمیم در آسیب‌های اعصاب یا نخاع داشته

۵_ منابع

- [1] Earnshaw WC. Keeping survivin nimble at centromeres in mitosis. *Science* 2005; 310 (5753): 1443-4.
- [2] Li F, Ling X. Survivin Study: An Update of 'What is the Next Wave?'. *J cell physiol* 2006; 208: 476-86.
- [3] Conway EM, Pollefeyt S, Cornelissen J, DeBaere I, Steiner-Mosonyi M, Ong K, Baens M, Collen D, Schuh AC. Three differentially expressed survivin cDNA variants encode proteins with distinct antiapoptotic functions. *Blood* 2000; 95: 1435-42.
- [4] Adida C, Crotty PL, McGrath J, Berrebi D, Diebold J, Altieri DC. Developmentally regulated expression of the novel cancer anti-apoptosis gene survivin in human and mouse differentiation. *Am J Pathol* 1998; 152: 43-9.
- [5] Adida C, Recher C, Raffoux E, Daniel MT, Taksin AL, Rousselot P, Sigaux F, Degos L, Altieri DC, Dombret H. Expression and prognostic significance of survivin in de novo acute myeloid leukaemia. *Br J Haematol* 2000; 111: 196-203.
- [6] Altieri DC. The molecular basis and potential role of survivin in cancer diagnosis and therapy. *Trends Mol Med* 2001; 7: 542-7.
- [7] Ambrosini G, Adida C, Altieri DC. A novel anti-apoptosis gene, survivin, expressed in cancer and lymphoma. *Nat Med* 1997; 3: 917-21.
- [8] Kashihara Y, Kuno M, Miyata Y. Cell death of axotomized motoneurons in neonatal rats, and its prevention by peripheral reinnervation. *J Physiol (Lond)* 1987; 386: 135-48.
- [9] Pollin MM, McHanwell S, Slater CR. The effect of age on motor neurone death following axotomy in the mouse. *Development* 1991; 112: 83-9.
- [10] Snider WD, Elliott JL, Yan Q. Axotomy-induced neuronal death during development. *J Neurobiol* 1992; 23:1231-46.
- [11] Li L, Openheim RW, Lei M, Houenou LJ. Neurotrophic agents prevent motoneuron death following sciatic nerve section in the neonatal mouse. *J Neurobiology* 1994; 25:759-66.
- [12] عمادی بایگی مجتبی. بررسی بیان ژن survivin (یک مهارکننده جدید آپوپتوز) در حین تکوین، ترمیم و تومورزایی. به راهنمایی دکتر سید جواد مولی. دانشگاه تربیت مدرس، پایان‌نامه کارشناسی ارشد. سال ۱۳۸۲
- [13] Blast the Mouse genome. Available from: <http://www.ncbi.nlm.nih.gov/genome/seq/MmBlast.html>
- [14] Vila M, Przedborski S. Targeting programmed cell death neurodegenerative diseases. *Nat Rev Neurosci* 2003; 4: 1-11.
- [15] Fan M, Mi R, Yew DT, Yee Chan W. Analysis of gene expression following sciatic nerve crush and spinal cord hemisection in the mouse by microarray expression profiling. *Cell Mol Neurobiol* 2001; 21(5): 497-508.
- [16] Yang Y, Xie Y, Chai H, Fan M, Liu Sh, Liu H, Bruce I, Wu W. Microarray analysis of gene expression patterns in adult spinal motoneurons

- after different types of injuries. *Brain Res* 2005; 1075: 1-12.
- [17] Boeshore KL, Schreiber RC, Vaccariello SA, Hyatt Sachs H, Salazar R, Lee J, Ratan RR, Leahy P, Zigmond RE. Novel changes in gene expression following axotomy of a sympathetic ganglion: a microarray analysis. *J Neurobiol* 2004; 59(2): 216-35.
- [18] Brown AG, Fyffe RE. Direct observations on the contacts made between Ia afferent fibres and alpha-motoneurones in the cat's lumbosacral spinal cord. *J Physiol (Lond)* 1981; 313: 121-40.
- [19] Funakoshi H, Frisen J, Barbany G, Timmusk T, Zachrisson O, Verge VMK, Persson H. Differential Expression of mRNAs for Neurotrophins and Their Receptors after Axotomy of the Sciatic Nerve. *J Cell Biol* 1993; 123: 455-65.
- [20] Narasaki DK, Pessoa de Barros Filho TE, Mendes de Oliveira CRGC, Cristante AF, Iutaka AS, Marcon RM, Oliveira RP. Spinal cord regeneration: The action of neurotrophin-3 in spinal cord injury in rats. *CLINICS* 2006; 61(5): 453-60.
- [21] Andersen MH, Pedersen LO, Becker JC, Straten PT. Identification of a cytotoxic T. lymphocyte response to the apoptosis inhibitor protein survivin in cancer patients. *Cancer Res* 2001; 61: 869-72.
- [22] Chiou SK, Jones MK, Tarnawski AS. Survivin – an anti-apoptosis protein: its biological roles and implications for cancer and beyond. *Med Sci Monit* 2003; 9(4): 125-9.
- [23] Mesri M, Wall NR, Li F, Kim RW, Altieri DC. Cancer gene therapy using a survivin mutant adenovirus. *J Clin Invest* 2001; 108: 981-90.
- [24] O'Connor DS, Wall NR, Porter AC, Altieri DC. A p34 (cdc2) survival checkpoint in cancer. *Cancer Cell* 2002; 2: 43-54.
- [25] Zaffaroni N, Pennati M, Daidone MG. Survivin as a target for new anticancer interventions. *J Cell Mol Med* 2005; 9(2): 360-72.
- [26] Emadi Baygi M, Mowla SJ, Nikpoor P, Tiraihi T. Differential expression of two different variants of survivin during mouse brain development. *Yakhteh Medical Journal* 2004; 6(22): 85-90.
- [27] Johnson EA, Svetlov SI, Pike BR, Tolentino PJ, Shaw G, Wang KKW, Hayes RL, Pineda JA. Cell-specific upregulation of survivin after experimental traumatic brain injury in rats. *J Neurotrauma* 2004; 21: 1183-95.
- [28] Mahotka C, Liebmann J, Wenzel M, Suschek CV, Schmitt M, Gabbert HE, Gerharz CD. Differential subcellular localization of functionally divergent survivin splice variants. *Cell Death Differ* 2002; 9: 1334-42.